

文章编号: 0258-7025(2001)08-0735-04

YCOB 晶体非线性光学系数的标定及空间分布*

王正平 宋仁波 江怀东 傅琨 王长青 刘均海 王继扬 刘耀岗 魏景谦 邵宗书

(山东大学晶体材料国家重点实验室 济南 250100)

提要 通过实验确定了 YCOB 晶体的全部非线性系数, 并用不同切向的 YCOB 晶体验证了由此决定的有效非线性系数的空间分布。结果表明, YCOB 晶体的有效非线性系数在第二像限的 $\theta = 67^\circ$, $\phi = 143.5^\circ$ 处具有最大值, 为 1.73 pm/V 。当长度为 5 mm 时, 该切向晶体的倍频转换效率达到 41.5% 。

关键词 YCOB 晶体, 非线性光学系数, 倍频转换效率

中图分类号 O 734⁺.1 文献标识码 A

Absolute Scale of Nonlinear optical Coefficients of YCOB Crystal

WANG Zheng-ping SONG Ren-bo JIANG Huai-dong FU Kun WANG Chang-qing
LIU Jun-hai WANG Ji-yang LIU Yao-gang WEI Jing-qian SHAO Zong-shu

(National Key Laboratory of Crystal Materials, Shandong University, Jinan 250100)

Abstract The whole nonlinear optical coefficients of YCOB crystal are evaluated by PM SHG method and Maker Fringe method. The spatial distribution of d_{eff} is given. The d_{eff} reaches the maximum, 1.73 pm/V , at the direction (67° , 143.5°). The SHG efficiency reaches 41.5% with a 5 mm long YCOB crystal cut along this direction.

Key words YCOB crystal, nonlinear optical coefficient, SHG efficiency

1 引言

1992 年, Norrestam 等首次合成了一族新型的硼酸盐晶体, 即 ReCOB (Re= La³⁺, Nd³⁺, Sm³⁺, Gd³⁺, Er³⁺, Y³⁺)^[1]。1997 年, M. Iwa 等第一次报道了 YCOB 晶体的生长、结构以及线性和非线性光学性质^[2]。因为该晶体是同成分共融化合物, 所以可用 Czochralski 提拉法生长, 生长速度快、周期短, 且比较容易获得高光学质量的大块单晶。YCOB 晶体的损伤阈值很高, 实验中我们发现该值大于 6 GW/cm^2 , 高于 KTP, LBO, β -BBO 等晶体^[3]。此外, YCOB 晶体具有透光波段宽、相位匹配范围大、不潮解等优点, 因而近年来已受到人们的广泛关注。

ReCOB 晶体中的 Re³⁺ 被 Nd³⁺ 部分取代后, 具有自倍频性能。Q. Ye 等用 Nd: YCOB 作为激光介质, 得到了 16 mW 的 666 nm 自倍频红光^[4]; 以 LD 抽运 Nd: GdCOB, 当吸收抽运功率为 1.25 W 时可得到 115

mW 的 530.5 nm 自倍频绿光^[5]; 以波长为 829.6 nm 的钛宝石激光抽运 Nd: GdCOB, 通过自和频实现了大于 1 mW 的 465 nm 蓝光输出^[6]。红、绿、蓝三原色齐备, 故可以预见此类晶体具有广阔的发展前景。

众所周知, 非线性系数的标定对于非线性光学晶体的研究具有决定性影响。由于 YCOB 属于对称性极低的单斜晶系, 在考虑 Kleemann 对称性后独立的非线性系数仍有 6 个之多, 所以标定工作比较复杂。据我们所知, 到目前为止还未见能够将它们全部实验标定的报道。这对 YCOB 晶体在倍频、自倍频方向上的进一步开发和应用起到了阻碍作用。我们将 PM SHG 法与 Maker 条纹法相结合, 测定了 YCOB 晶体的全部非线性系数, 并且证实了由此决定的有效非线性系数 d_{eff} 的空间分布规律。实验表明, YCOB 晶体的最大 d_{eff} 不在第一像限或主平面内, 而是在第二像限, 这与人们所熟悉的 KTP, LBO, β -BBO 等晶体的规律不同。当 $\theta = 67^\circ$, $\phi = 143.5^\circ$ 时, d_{eff} 有最大值 1.73 pm/V , 长度为 5 mm 的晶体倍频转换效率达到 41.5% 。

* 国家自然科学重大基金(项目号 69890235) 和教育部科学技术研究重点(项目号 99182) 资助项目。

2 非线性系数的完全标定

YCOB 晶体的点群为 m , 空间群为 C_m , d_{eff} 的对称性为 $2/m$, 其分布需要通过两个独立的像限才能完全确定。考虑 Kleemann 对称性后, 约化的非线性系数矩阵有如下形式

$$[d_{\text{in}}] = \begin{bmatrix} d_{11} & d_{12} & d_{13} & 0 & d_{31} & 0 \\ 0 & 0 & 0 & d_{32} & 0 & d_{12} \\ d_{31} & d_{32} & d_{33} & 0 & d_{13} & 0 \end{bmatrix} \quad (1)$$

从阴离子基团理论^[7]出发, 运用 CNDO 近似方法可以推断, $d_{11}, d_{12}, d_{31}, d_{32} > 0$, 而 $d_{13}, d_{33} < 0$ 。

在忽略光波离散效应的情况下, 晶体一、二类相位匹配的有效非线性系数可分别写作

$$d_{\text{eff}}(\text{I}) = [A_1^2 \ A_2^2 \ A_3^2][d_{\text{in}}] \begin{bmatrix} B_1^1 B_1^1 \\ B_2^1 B_2^1 \\ B_3^1 B_3^1 \\ 2B_2^1 B_3^1 \\ 2B_3^1 B_1^1 \\ 2B_1^1 B_2^1 \end{bmatrix} \quad (2)$$

$$d_{\text{eff}}(\text{II}) = [A_1^2 \ A_2^2 \ A_3^2][d_{\text{in}}] \begin{bmatrix} A_1^1 B_1^1 \\ A_2^1 B_2^1 \\ A_3^1 B_3^1 \\ A_2^1 B_3^1 + A_3^1 B_2^1 \\ A_1^1 B_3^1 + A_3^1 B_1^1 \\ A_2^1 B_1^1 + A_1^1 B_2^1 \end{bmatrix} \quad (3)$$

其中 A_i^2, A_i^1 分别为倍频快光与基频快光的归一化电场分量, B_i^1 为基频慢光的归一化电场分量。当基频光沿 YZ 平面入射时, $[A_i^2] = [1 \ 0 \ 0]$, $[B_i^1] = [0 \ -\cos\theta \ \sin\theta]$, $[A_i^1] = [1 \ 0 \ 0]$, 将它们与(1)式代入(2), (3), 可得 $d_{\text{eff}}(\text{I}) = d_{13}\sin^2\theta + d_{12}\cos^2\theta$, $d_{\text{eff}}(\text{II}) = d_{31}\sin\theta$ 。同理可推得其他主平面内的 d_{eff} , 结果如表 1 所示。

由 YCOB 的 Sellmeier 方程可知^[8], 当基频光波长为 1064 nm 时, 在 ZX 与 XY 两个主平面上有一类相位匹配点, 与之相关的非线性系数有 d_{12}, d_{32} 和 d_{13} 。采用图 1 所示的实验装置, 我们用 PM SHG 法

表 1 YCOB 晶体主平面内 d_{eff} 的表达式

Table 1 Expression of d_{eff} in principal planes of YCOB crystal

Principal plane	Type I	Type II
YZ	$d_{13}\sin^2\theta + d_{12}\cos^2\theta$ $d_{12}\cos\theta - d_{32}\sin\theta (0^\circ \leq \theta < \Omega, \phi = 0^\circ)$	$d_{31}\sin\theta$ $0 (0^\circ \leq \theta < \Omega)$
ZX*	$-d_{12}\cos\theta - d_{32}\sin\theta (0^\circ \leq \theta < \Omega, \phi = 180^\circ)$ $0 (\Omega < \theta \leq 90^\circ)$	$d_{32}\sin\theta - d_{12}\cos\theta (\Omega < \theta \leq 90^\circ, \phi = 0^\circ)$ $d_{32}\sin\theta + d_{12}\cos\theta (\Omega < \theta \leq 90^\circ, \phi = 180^\circ)$
XY	$d_{13}\sin\phi$	$d_{31}\sin^2\phi + d_{32}\cos^2\phi$

* Ω is angle of optical axis.

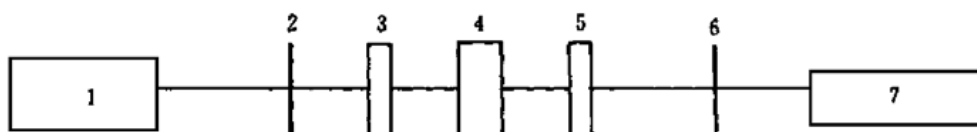


图 1 测量 $|d_{\text{eff}}|$ 的实验装置图

1: Nd: YAG 激光器; 2: 光阑; 3: 起偏器; 4: 晶体; 5: 检偏器; 6: 滤色片; 7: 能量计

Fig. 1 Experimental setup for the measurement of $|d_{\text{eff}}|$

1: Nd: YAG laser; 2: diaphragm; 3: polarizer; 4: crystal; 5: polarizer; 6: filter; 7: energy meter

测量了方向分别为 $(90^\circ, 35^\circ)$, $(31.7^\circ, 0^\circ)$, $(31.7^\circ, 180^\circ)$ 的三块 YCOB 晶体的 $|d_{\text{eff}}|$ 。激光光源为美国 Continuum 公司生产的 PY61 型 Nd: YAG 皮秒锁模激光器, 输出波长为 $1.064 \mu\text{m}$, 重复频率 10 Hz , 脉冲宽度 35 ps 。光阑是直径为 2.5 mm 的圆孔。滤色片对

基频光 ($1.064 \mu\text{m}$) 的透过率为 0.4% , 对倍频光 ($0.532 \mu\text{m}$) 的透过率为 89.2% 。实验所用的参照样品是一块长度为 5 mm 的沿 $(90^\circ, 23.6^\circ)$ 切割的 KTP 晶体, 该方向的 d_{eff} 取为 $2.45 \text{ pm/V}^{[9]}$ 。对于一类匹配的 YCOB 晶体, 起偏器与检偏器垂直放置, 对于二

类匹配的 KTP 晶体, 起偏器与检偏器呈 45° 放置, 目的是保证基频光与倍频光的偏振态匹配。实验中转动晶体, 直至倍频输出达到最大时读数。测量基频光能量时移去晶体、检偏器和滤色片。将实验数据代入慢变波与平面波近似条件下的倍频输出表达式^[10], 得到三块晶体的 $|d_{\text{eff}}|$ (见表 2)。由表 1 所列公式计算可得 $d_{12} = 0.24 \text{ pm/V}$, $d_{32} = 2.35 \text{ pm/V}$, $d_{13} = -0.73 \text{ pm/V}$ 。计算中 $(31.7^\circ, 0^\circ)$ 方向的 d_{eff} 取负值, 这是因为 Maker 条纹法表明 $d_{12} \ll d_{32}$ 。其他两个方向的 d_{eff} 也取负值, 这是由 d_{12} , d_{32} 和 d_{13} 的符号决定的。

G. Aka 指出^[11]: $\lambda = 1200 \text{ nm}$ 时, GdCOB 晶体在 YZ 平面上二类匹配点的 d_{eff} 约为 0.2 pm/V , 由计算

可知该点的 θ 接近 90° , 结合表 1 得到 $d_{31} \approx 0.2 \text{ pm/V}$ 。用 $\text{Gd}_{0.34}\text{Y}_{0.66}\text{COB}$ 晶体实现了 1064 nm 的 y 轴二类非临界相位匹配, 实验测得该方向上 $d_{\text{eff}} = 0.34 \text{ pm/V}$, 即为该晶体的 d_{31} 。假定对混晶存在 $d_{\text{eff}}(\text{Gd}_x\text{Y}_{1-x}\text{COB}) = d_{\text{eff}}(\text{GdCOB}) * x + d_{\text{eff}}(\text{YCOB}) * (1-x)$, 则可以推知 YCOB 晶体的 $d_{31} = 0.41 \text{ pm/V}$ 。

此外, YCOB 晶体的 Maker 条纹显示, $d_{11} \approx 0$, 且 $|d_{33}| = 0.68 |d_{32}|$ 。

综上所述, YCOB 的全部非线性系数都已由实验给出, 即 $d_{11} \approx 0$, $d_{12} = 0.24 \text{ pm/V}$, $d_{13} = -0.73 \text{ pm/V}$, $d_{31} = 0.41 \text{ pm/V}$, $d_{32} = 2.35 \text{ pm/V}$, $d_{33} = -1.60 \text{ pm/V}$ 。

表 2 不同 YCOB 样品的 $|d_{\text{eff}}|$

Table 2 $|d_{\text{eff}}|$ of various YCOB samples

No.	1	2	3	4	5	6	7
Direction	$(90^\circ, 35^\circ)$	$(31.7^\circ, 0^\circ)$	$(31.7^\circ, 180^\circ)$	$(45^\circ, 31.8^\circ)$	$(55^\circ, 35.8^\circ)$	$(65^\circ, 36.5^\circ)$	$(70^\circ, 36.3^\circ)$
Equivalent direction			$(148.3^\circ, 0^\circ)$				
$ d_{\text{eff}} $	0.42	1.03	1.44	0.18	0.84	1.14	1.07
No.	8	9	10	11	12	13	
Direction	$(82^\circ, 35.3^\circ)$	$(82^\circ, 144.7^\circ)$	$(67^\circ, 143.5^\circ)$	$(62^\circ, 143.5^\circ)$	$(45^\circ, 148.2^\circ)$	$(37.5^\circ, 156.1^\circ)$	
Equivalent direction		$(98^\circ, 35.3^\circ)$	$(113^\circ, 36.5^\circ)$	$(118^\circ, 36.5^\circ)$	$(135^\circ, 31.8^\circ)$	$(142.5^\circ, 23.9^\circ)$	
$ d_{\text{eff}} $	0.44	1.13	1.73	1.57	0.5	1.07	

3 有效非线性系数的空间分布规律及证实

根据前面给出的非线性系数, 拟合了 YCOB 晶体有效非线性系数的空间分布, 如图 2 所示。为了确信该规律, 我们加工了十块空间匹配方向上的晶

体样品, 长度均为 5 mm , 用与图 1 相同的实验装置测量了它们的 $|d_{\text{eff}}|$, 如表 2, 图 2 所示。图 2 表明, 实验结果与预计非常吻合, 从而证实了我们对非线性系数的估计。从图中可知, YCOB 晶体的最大非线性系数位于第二像限的 $(67^\circ, 143.5^\circ)$ 方向上, 为 1.73 pm/V 。当长度为 5 mm 时, 实验测得该方向晶体的倍频转换效率达到 41.5% 。

4 结 论

利用 PM SHG 法和 Maker 条纹法, 测量了 YCOB 晶体的全部非线性系数, 并且证实了由此决定的有效非线性系数的空间分布。结果表明, YCOB 晶体的最大非线性系数位于第二像限的 $(67^\circ, 143.5^\circ)$ 方向上, 达到 1.73 pm/V 。如果将有效非线性系数与受激发射截面两者综合考虑, 就可确定 Nd: YCOB 晶体的最佳自倍频方向。本文结论对于 ReCOB (Re= Gd, Y), Nd: ReCOB 晶体的进一步研究具有推动意义, 对

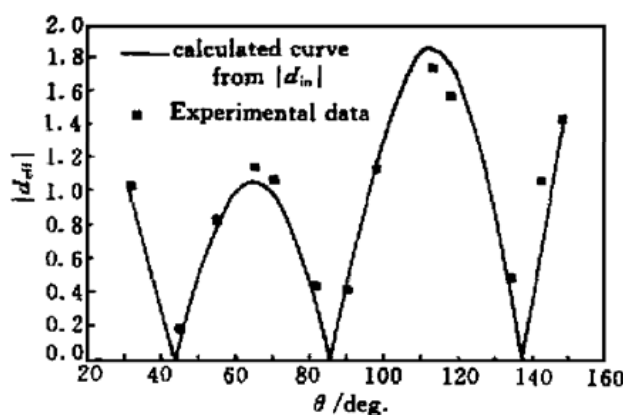


图 2 YCOB 晶体有效非线性系数的空间分布

Fig. 2 Spatial distribution of $|d_{\text{eff}}|$ of YCOB crystal

于其他低对称性非线性光学晶体的探索也将产生借鉴作用。

参 考 文 献

- 1 R. Norrestam, M. Nygren, J. O. Bovin. Structure investigations of new calcium rare earth (R) oxyborates with the composition $\text{Ca}_4\text{RO}(\text{BO}_3)_3$. *Chem. Mater.*, 1992, **4**: 737~743
- 2 M. Iwai, T. Kobayashi, H. Furuya *et al.*. Crystal growth and optical characterization of rare earth calcium oxyborate $\text{ReCa}_4\text{O}(\text{BO}_3)_3$ ($\text{Re} = \text{Y}$ or Gd) as new nonlinear optical material. *Jpn. J. Appl. Phys.*, 1997, **36**(3A): L276~L279
- 3 Shujun Zhang, Zhenxiang Chen, Junhua Lu *et al.*. Studies on the effective nonlinear coefficient of $\text{GdCa}_4\text{O}(\text{BO}_3)_3$ crystal. *J. Crystal Growth*, 1999, **205**: 453~456
- 4 Q. Ye, L. Shah, J. Eichenholz *et al.*. Investigation of diode-pumped, self-frequency doubled RGB lasers from Nd: YCOB crystals. *Opt. Comm.*, 1999, **164**(1/3): 33~37
- 5 F. Auge, F. Mougel, G. Aka *et al.*. Efficient self-frequency doubling Nd: YCOB crystal pumped by a high brightness laser diode. *Advanced Solid-State Lasers*, 1999, Paper MF7-1: 185~187
- 6 F. Mougel, G. Aka, A. Kahn-Harari *et al.*. CW blue laser generation by self-sum frequency mixing in $\text{Nd}: \text{Ca}_4\text{GdO}(\text{BO}_3)_3$ (Nd: YCOB) single crystal. *Opt. Mater.*, 1999, **13**: 293~297
- 7 C. T. Chen. Development of new nonlinear optical crystal in the borate series. *Laser Science and Technology* (Harwood Academic Publishers), 1993
- 8 F. Mougel, G. Aka, F. Salin *et al.*. Accurate second harmonic generation phase matching angles prediction and nonlinear coefficients measurements of $\text{Ca}_4\text{YO}(\text{BO}_3)_3$ (YCOB) crystal. *Advanced Solid-State Lasers '99, Techn. Dig.*, **WB11**: 332~334
- 9 V. G. Dmitriev, G. G. Gurzadyan, D. N. Nikogosyan. *Handbook of Nonlinear Optical Crystals*. Second revised and updated edition, Berlin: Springer, 1997
- 10 Y. R. Shen. *The Principles of Nonlinear Optics*. John Wiley & Sons, 1984
- 11 G. Aka, A. Kahn-Harari, F. Mougel *et al.*. Linear and nonlinear optical properties of a new gadolinium calcium oxoborate crystal, $\text{Ca}_4\text{GdO}(\text{BO}_3)_3$. *J. Opt. Soc. Am. B*, 1997, **14**(9): 2238~2247